

## ЛИТЕРАТУРА

1. П. Ф. Покил. Сб. «Физика взрыва», № 2, 1953, стр. 181.
2. А. А. Зенин. Канд. дисс. М., 1962.
3. О. П. Коробейников, В. В. Болдырев и др. Изв. АН СССР. Сер. хим., 1969, 4, 778.
4. D. I. Newkirk, I. A. Hicks. Combustions Sciense and Technology, 1971, 2, 307.
5. Пат. США № 3138499.
6. Пат. США № 3102834.
7. К. К. Андреев, А. П. Глазкова и др. ЖФХ, 1958, 32, 1726.

УДК 629.7.036.54

## О НЕСТАЦИОНАРНОЙ ЭРОЗИИ ПОРОХА

Ю. И. Медведев, Л. Н. Ревягин

(Томск)

Отношение скорости горения пороха в присутствии колебаний скорости газового потока  $u$  к нормальной  $u_0$  будем называть коэффициентом динамической эрозии  $\varepsilon_g$ . Его определение представляет сложную экспериментальную задачу, решение которой возможно при наличии прибора с устойчивым полем колебаний, высокой амплитудой и заданной частотой при уверенном регистрации этих параметров. В наших опытах использовалась двухсекционная камера Прайса [1, 2] (рис. 1). Для определения скорости горения в условиях колебаний служит секция II диаметром 44 мм, неустойчивая по отношению к продольным колебаниям. Заряд секции вибрационного горения представляет собой цилиндрическую канальную шашку, забронированную по торцевой и боковой поверхности. Продукты сгорания истекают через отверстие в боковой стенке заряда, совмещенное с отверстием камеры диаметром 20 мм. После воспламенения запалами в этой секции устанавливаются колебания с частотой  $f = c/2l$ , где  $c$  — скорость звука в продуктах сгорания,  $l$  — длина секции II. На одном конце этой секции имеется отверстие для пьезодатчика высокочастотных колебаний давления  $\tilde{p}$ , на другом — расположена блок подачи воды для гашения заряда при сбросе давления.

Контрольная секция I имеет аналогичную конструкцию. В отличие от экспериментальной установки Крампа и Прайса заряд секции стационарного горения был не трубчатого, а стержневого типа. Это приводит к надежному демпфированию колебаний и позволяет свести к минимуму изменение среднего давления в процессе опыта. Как показывают измерения, стационарное давление  $p_0$  в обеих частях установки оказывается одинаковым и равным давлению в полости акустического фильтра III.

Длина обеих секций установки может изменяться присоединением дополнительных частей. Это позво-

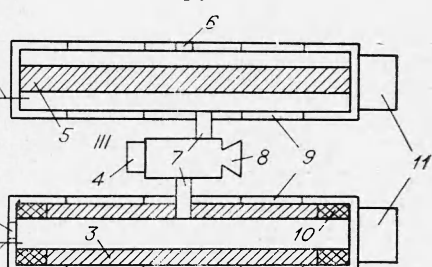


Рис. 1. Схематическое изображение двухсекционной камеры сгорания.  
1 — запал; 2 — гнездо датчика высокочастотных колебаний; 3 — цилиндрическая шашка; 4 — блок сброса давления; 5 — стержневая шашка; 6 — гнездо датчика среднего давления; 7 — соединительные патрубки; 8 — сопло; 9 — дополнительная часть; 10 — негорючий вкладыш; 11 — блок подачи воды.

ляет изменить частоту колебаний, возникающих в секции вибрационного горения. Амплитуда колебаний варьируется с помощью пассивных негорючих вкладышей. Иногда в роли таких вкладышей выступали образцы, изготовленные из другого топлива, более или менее склонного к возбуждению колебаний, чем испытуемое.

Прерывание горения необходимо для измерения толщины выгорания свода по длине заряда и определения средней во времени величины нестационарной скорости горения  $v$  в секции II или значения  $v_0$  в контрольной секции I. Тушение зарядов производится сбросом давления с одновременной подачей воды. В ходе эксперимента измеряются амплитуда и частота колебаний давления, среднее давление, время работы установки, толщина сгоревшего свода контрольного заряда и заряда секции вибрационного горения. Таким образом, получаются все величины, необходимые для определения коэффициента динамической эрозии  $\epsilon_g$ .

При измерении толщины сгоревшего свода, достигающей 10—15 мм, встречается ряд трудностей. Во-первых, поверхность горения, особенно в местах пучности акустической скорости стоячей волны, покрыта хорошо выраженной рябью, высота вершин которой достигает 0,3 мм. Во-вторых, из-за наличия бокового отверстия в середине заряда II возмущение поля течения в этом месте может повлиять на точность результатов. Поэтому данные непосредственных измерений сверялись с результатами интерполяции, проведенной из соответствующих точек, равнодistantных от осевой линии бокового отверстия. Толщина сгоревшего свода у концов заряда II (пучность давления стоячей волны) также контролировалась экстраполяцией результатов измерений, так как из-за наличия на концах заряда бронировки в этих местах могут наблюдаться аномалии скорости горения. Все полученные зависимости соответствуют случаям, когда оба способа давали совпадающие результаты. Критерием достоверности полученных значений стационарной скорости горения являлось совпадение величины  $v_0$ , найденной из обмеров заряда контрольной секции I, с паспортной характеристикой пороха.

Для получения достоверных результатов необходимо исключить возможность появления эффектов стационарной эрозии, особенно в секции II, где средняя скорость потока газов может достигать больших значений. С этой целью выбирались такие начальные диаметры каналов, при которых максимальная скорость течения продуктов сгорания была существенно ниже порогового значения стационарной эрозии. В процессе горения эта скорость могла только уменьшаться.

Проводились контрольные опыты без высокочастотных колебаний. Анализ погашенных зарядов показал, что выгорание топлива вдоль шашки в стационарном случае было равномерным, а сама поверхность горения была достаточно ровной. Если в процессе испытаний генерировались мощные акустические волны, то всегда на поверхности горения появлялась характерная рябь, наиболее развитая в местах, соответствующих пучности скорости стоячей волны, и в определенных случаях наблюдалось изменение скорости толщины сгоревшего свода.

Для сопоставления результатов испытаний с данными по статической эрозии топлив предлагается использовать не амплитудную скорость газов в волне  $\xi$ , а ее эффективное значение за период колебаний  $T$ . Легко видеть, что

$$v_{\text{эфф}} = \frac{2}{T} \xi \int_0^{T/2} \cos 2\pi \frac{t}{T} dt = 0,637\xi.$$

Результаты исследования трех порохов типа Н с добавками 2% окиси магния, 2,5% окиси свинца и 0,5% графита представлены в виде зависимостей  $\epsilon_g = \epsilon_g(v_{\text{эфф}})$  и  $\epsilon_g = \epsilon_g(f)$ .

На рис. 2 изображены кривые  $\varepsilon_g(v_{\text{эфф}})$  для некоторых порохов. Видно, что характер расположения кривых 1, 2 и 3, 4 для двух разных порохов идентичен. Соотношения  $\varepsilon_g = \varepsilon_g(v_{\text{эфф}})$  показывают, что основная особенность процесса динамической эрозии состоит в снижении величины порогового значения скорости потока  $v_{\text{эфф}}$  по сравнению со случаем стационарного течения  $v_*$  примерно в два раза.

На рис. 3 изображены соотношения  $\varepsilon_g = \varepsilon_g(f)$ . Значение эффективной скорости в волне для пороха H+2% MgO совпадало с пороговой величиной  $v_{\text{эфф}}$  ( $\sim 30$  м/с), определенной при  $f=1300$  Гц. Повышение частоты колебаний с 1300 до 1800 Гц приводит к эффекту, хотя и весьма слабому, динамической эрозии (рис. 3, 2). Влияние частоты акустических колебаний скорости потока на  $\varepsilon_g$  более отчетливо проявилось в составе H+0,5% графита, где величина  $v_{\text{эфф}}=85$  м/с была, по-видимому, выше порогового значения. Отметим, что пороговое значение стационарного потока для этого топлива равно 100 м/с. Двукратное увеличение частоты привело к возрастанию коэффициента динамической эрозии на  $\sim 10\%$  (рис. 3, 1).

Интересно поведение скорости горения катализированного пороха H+2,5% PbO. При изменении рабочих параметров: среднего давления в камере  $p_0=30-40$  ат ( $3-4$  МН/м $^2$ ), частоты колебаний  $f=950-1800$  Гц,  $v_{\text{эфф}}=95-220$  м/с — коэффициент динамической эрозии практически не отличался от единицы (см. рис. 2, 5; рис. 3, 3). Тем не менее, в местах, соответствующих пучности акустической скорости, возникала ярко выраженная рябь. В пучности же акустического давления средняя по времени скорость горения этой рецептуры  $u'$  уменьшилась по сравнению с величиной стационарной скорости горения  $u_0$ .

На рис. 4 представлены экспериментальные значения коэффициента  $k=u'/u_0$  в зависимости от  $p_0$  для составов H+2% MgO (1) и H+2,5% PbO (2). Везде  $k < 1$ , что говорит о «пригасании» порохов в пучности давления стоячей волны. Наибольшим замедлением обладает композиция H+2,5% PbO. Скорость горения тем ниже, чем больше относительная величина акустического давления  $\bar{p}/p_0$ .

Увеличение скорости горения в пучности скорости акустической волны, вероятно, происходит за счет возрастания коэффициента теплопроводности газообразной среды при турбулизации ее акустическими волнами. Отметим, что для турбулизации жидкости или газа обычно достаточно интенсивности колебаний  $I=10$  Вт/см $^2$  ( $10^5$  Вт/м $^2$ ) [3].

В наших опытах в поле стоячей волны понятие «интенсивности» звука теряет силу, поскольку здесь нет потока акустической энергии. Однако на практике часто условно используются единицы измерения интенсивности колебаний. В камере

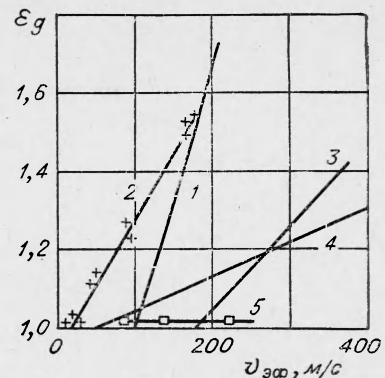


Рис. 2. Зависимость коэффициента динамической эрозии от эффективной скорости колебаний газового потока.

1 — H+2% MgO (статич.),  $p_0=70$  ат ( $7$  МН/м $^2$ ); 2 — H+2% MgO (динамич.),  $p_0=40$  ат ( $4$  МН/м $^2$ ),  $f=1300$  Гц; 3 — JPN (динамич.),  $p_0=77$  ат ( $7,7$  МН/м $^2$ ),  $f=4200$  Гц [1]; 4 — JPN (статич.),  $p_0=70$  ат ( $7$  МН/м $^2$ ); 5 — H+2,5% PbO,  $p_0=30$  ат ( $3$  МН/м $^2$ ),  $f=950$  Гц [1].

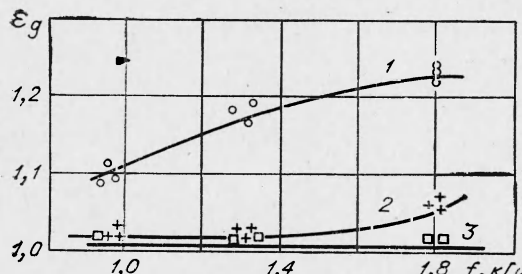


Рис. 3. Зависимость коэффициента динамической эрозии от частоты колебаний ( $p_0=40$  ат ( $4$  МН/м $^2$ )).

1 — H+0,5% графита,  $v_{\text{эфф}}=85$  м/с; 2 — H+2% MgO,  $v_{\text{эфф}}=30$  м/с; 3 — H+2,5% PbO,  $v_{\text{эфф}}=95$  м/с.

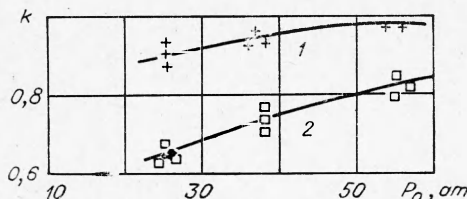


Рис. 4. Изменение скорости горения в пучности давления стоячей акустической волны ( $p=10$  ат,  $f=1300$  Гц).

ходимой для достаточного, в смысле ее воздействия на скорость горения пороха, возрастания потока тепла из газовой в конденсированную фазу. Причина  $v_{\text{аф}*} < v_*$  может состоять в том, что звуковые волны способствуют более быстрой потере гидродинамической устойчивости потока и действуют более эффективно, чем в случае простого увеличения скорости стационарного течения [3, 4].

Из данных рис. 3 следует, что с ростом частоты колебаний наблюдается весьма слабое увеличение коэффициента динамической эрозии. Этот факт согласуется с результатами исследования теплообмена в турбулентном погранслое [5], поскольку с ростом частоты происходит интенсификация этого процесса. С другой стороны, известно [6], что толщина динамического погранслоя  $\delta \sim \sqrt{\frac{v}{\pi}}$ , где  $v$  — коэффициент кинематической вязкости газа, и при  $v=0,15 \text{ см}^2/\text{с}$  и  $f=1300 \text{ Гц}$ ,  $\delta \sim 60 \text{ мк}$ , что по порядку величины совпадает с протяженностью зоны горения в газовой фазе исследованных порохов. Уменьшение толщины погранслоя с ростом частоты колебаний должно способствовать возрастанию теплового потока к поверхности пороха и повышению скорости горения. Нечувствительность скорости горения состава  $\text{H}+2,5\% \text{ PbO}$  к колебаниям газового потока, возможно, объясняется тем, что ведущая стадия горения находится в конденсированной фазе зоны дефлаграции этой рецептуры. Например, в работе [7] установлено, что введение в состав пороха  $\text{H}$  свинцового катализатора (1% силицилата свинца) ускоряет химические реакции разложения и превращения твердой фазы в газообразную на ранних стадиях горения.

В результате опытов выяснено, что пороговое значение акустической скорости, вызывающей динамическую эрозию, оказывается ниже порогового значения скорости стационарного потока, приводящего к обычному процессу раздувания. С ростом частоты колебаний наблюдается увеличение  $\epsilon_g$ . Зависимость  $\epsilon_g(f)$  весьма слабая. Величина коэффициента  $\epsilon_g$  возрастает с увеличением интенсивности колебаний. Причина увеличения скорости горения пороха в пучности акустической скорости стоячей волны может состоять в акустической турбулизации продуктов горения и возрастании коэффициентов переноса. Скорость горения состава  $\text{H}+2,5\% \text{ PbO}$  оказалась нечувствительной к колебаниям скорости. Возможная причина этого явления — слабая зависимость закономерностей горения от процессов в газовой фазе зоны дефлаграции.

В пучностях акустического давления существует тенденция к уменьшению средней во времени скорости горения.

Поступила в редакцию  
24/IX 1973

#### ЛИТЕРАТУРА

- Крамп, Прайс. РТ, 1961, 7.
- Крамп, Прайс. РТИК, 1964, 7.
- Е. П. Медников. Акустическая коагуляция и осаждение аэрозолей. М., Изд. АН СССР, 1963.

4. В. А. Красильников. Звуковые и ультразвуковые волны. М., Физматгиз, 1960.
5. В. Е. Накоряков и др. Тепло- и массообмен в звуковом поле. Новосибирск, 1970.
6. Ю. Я. Борисов, Ю. Г. Статников. Акустический ж. 1966, 12, 3.
7. В. М. Мальцев, М. Саммерфильд. ФГВ, 1973, 9, 1.

УДК 541.128+662.222

## ИССЛЕДОВАНИЕ СТРУКТУРЫ ПОГАШЕННОЙ ПОВЕРХНОСТИ КАТАЛИЗИРОВАННОГО СМЕСЕВОГО СОСТАВА ПХА — ПММА

О. П. Коробейничев, А. М. Викторенко, А. Г. Терещенко,  
Н. Н. Коломийчук  
(Новосибирск)

В последнее время опубликован ряд работ [1—4] по изучению механизма горения смесевых твердых топлив (СТТ) на основе ПХА и полимерного связующего с помощью сканирующего электронного микроскопа (СЭМ). В этих работах путем исследования структуры затушенных поверхностей образцов ПХА и топлив на его основе установлены факты важные для понимания механизма горения СТТ. В работе [5] этот метод применен для изучения механизма действия катализатора при горении ПХА и СТТ на его основе и отмечено накопление и агломерация частиц катализатора  $\text{Fe}_2\text{O}_3$ , образование каркаса из этих частиц на поверхности горения, образование выемок вокруг частиц катализатора  $\text{CuO}$ , указывающее на протекание подповерхностных катализитических реакций в конденсированной фазе.

Настоящая работа является продолжением и развитием работы [5] и посвящена дальнейшему исследованию механизма катализа горения модельной системы ПХА — ПММА (полиметилметакрилат) с помощью СЭМ, изучению влияния различных факторов: давления, дисперсности ПХА, дисперсности катализатора  $\text{Fe}_2\text{O}_3$ .

Образцы, горящие при повышенном давлении (40 атм) в бомбе постоянного объема Б-150, гасились путем резкого сброса давления при разрыве диафрагмы (металлической фольги в окне бомбы) с помощью заостренного стержня, толкаемого мощной пружиной. Образцы, горящие при 1 атм, гасились так же, как описано в [5]. Поверхности затушенных образцов топлива исследовались с помощью сканирующего электронного микроскопа (Cambridge Instrument Company Stereoscan), обладающего высоким увеличением с большой глубиной резкости.

В работе использовались смеси ПХА (дисперсность ПХА варьировалась) с ПММА (дисперсность  $\sim 3$  мк) стехиометрического состава. Катализатор  $\text{Fe}_2\text{O}_3$  с различной удельной поверхностью вводился в количестве 2%. Методика приготовления образцов аналогична использованной в [5].

**Топлива с крупнодисперсным ПХА.** На рис. 1, а, б и рис. 2, а, б показана структура поверхности горения образцов топлива с ПХА ( $250 \div 400$  мк) без катализатора (рис. 1) и с катализатором  $\text{Fe}_2\text{O}_3$  ( $S_{уд} = 0,4 \text{ м}^2/\text{г}$ ), затушенных при 1 атм. Из рис. 2 видно, что на поверхности горения накапливаются агломераты частиц катализатора размером  $\sim 20$  мк (размер исходных частиц катализатора в топливе  $\sim 4$  мк). В соответствии с данными работ [1—4] поверх-